

**$^{226}\text{Ra}(\alpha,2n\gamma)$  1998We01,1993Ac02,1986Sc18**

Type	Author	History Citation	Literature Cutoff Date
Full Evaluation	Khalifeh Abusaleem	NDS 116, 163 (2014)	31-Dec-2012

1998We01:  $E\alpha=28$  MeV. Measured  $E\gamma$ ,  $I\gamma$ ,  $\gamma\gamma$ ,  $ce-\gamma$ . Deduced: level energy,  $J^\pi$ , and band structure. Three Compton-suppressed Ge detectors and iron-free orange spectrometer.

1993Ac02:  $E\alpha=28$  MeV; measured  $E\gamma$ ,  $I\gamma$  in coin with  $ce(L2)(129.1\gamma)$ .

1986Sc18:  $E\alpha=33, 42, 55$  MeV; measured  $ce$ ,  $(ce)(ce)$ ,  $(ce)\gamma$ .

The level scheme is that proposed by 1986Sc18 and 1993Ac02, confirming levels known from  $^{228}\text{Ac} \beta^-$  decay,  $^{228}\text{Pa} \varepsilon$  decay and  $^{230}\text{Th}(\alpha,\alpha'2n\gamma)$ , and adding the levels with  $J>14$ . The  $1^-$  and  $-3$  levels of the  $K^\pi=0^-$  band are not seen in this experiment.

$^{228}\text{Th}$  Levels

E(level) <sup>‡</sup>	$J^\pi$	E(level) <sup>‡</sup>	$J^\pi$	E(level) <sup>‡</sup>	$J^\pi$	E(level) <sup>‡</sup>	$J^\pi$
0.0 <sup>#</sup>	0 <sup>+</sup>	831.80 <sup>@</sup> 15	0 <sup>+</sup>	1174.57 <sup>&amp;</sup> 10	5 <sup>+</sup>	1599.5 <sup>†#</sup> 6	14 <sup>+</sup>
57.78 <sup>#</sup> 3	2 <sup>+</sup>	874.47 <sup>@</sup> 8	2 <sup>+</sup>	1189.8 <sup>a</sup> 4	11 <sup>-</sup>	1627.9 <sup>&amp;</sup> 4	9 <sup>+</sup>
186.91 <sup>#</sup> 4	4 <sup>+</sup>	911.9 <sup>#</sup> 4	10 <sup>+</sup>	1239.4 <sup>#</sup> 5	12 <sup>+</sup>	1733.2 <sup>@</sup> 4	12 <sup>+</sup>
328.02 <sup>a</sup> 8	1 <sup>-</sup>	920.9 <sup>a</sup> 3	9 <sup>-</sup>	1270.12 <sup>&amp;</sup> 23	6 <sup>+</sup>	1762.7 <sup>&amp;</sup> 5	10 <sup>+</sup>
378.32 <sup>#</sup> 12	6 <sup>+</sup>	968.44 <sup>@</sup> 8	4 <sup>+</sup>	1280.5 <sup>@</sup> 3	8 <sup>+</sup>	1838.4 <sup>†a</sup> 5	15 <sup>-</sup>
396.04 <sup>a</sup> 8	3 <sup>-</sup>	968.983 <sup>&amp;</sup> 20	2 <sup>+</sup>	1379.6 <sup>&amp;</sup> 3	7 <sup>+</sup>	1988.1 <sup>†#</sup> 7	16 <sup>+</sup>
519.20 <sup>a</sup> 8	5 <sup>-</sup>	1022.57 <sup>&amp;</sup> 4	3 <sup>+</sup>	1490.3 <sup>@</sup> 3	10 <sup>+</sup>	2209.8 <sup>†a</sup> 6	17 <sup>-</sup>
622.6 <sup>#</sup> 3	8 <sup>+</sup>	1091.10 <sup>&amp;</sup> 5	4 <sup>+</sup>	1497.2 <sup>a</sup> 4	13 <sup>-</sup>	2407.9 <sup>†#</sup> 7	18 <sup>+</sup>
695.58 <sup>a</sup> 23	7 <sup>-</sup>	1105.45 <sup>@</sup> 17	6 <sup>+</sup>	1497.4 <sup>&amp;</sup> 4	8 <sup>+</sup>		

<sup>†</sup> From 1993Ac02.

<sup>‡</sup> From least squares fit to  $E\gamma$ , unless otherwise noted.

<sup>#</sup> Band(A):  $K^\pi=0^+$ , g.s. band.

<sup>@</sup> Band(B):  $K^\pi=0^+$ ,  $\beta$  vibrational band.

<sup>&</sup> Band(C):  $K^\pi=2^+$ ,  $\gamma$  vibrational band.

<sup>a</sup> Band(D):  $K^\pi=0^-$ , octupole band.

$\gamma(^{228}\text{Th})$

$E_i(\text{level})$	$J_i^\pi$	$E_\gamma$ <sup>†</sup>	$E_f$	$J_f^\pi$
57.78	2 <sup>+</sup>	57.8	0.0	0 <sup>+</sup>
186.91	4 <sup>+</sup>	129.1	57.78	2 <sup>+</sup>
328.02	1 <sup>-</sup>	270.2	57.78	2 <sup>+</sup>
		328.0	0.0	0 <sup>+</sup>
378.32	6 <sup>+</sup>	191.3	186.91	4 <sup>+</sup>
396.04	3 <sup>-</sup>	209.2	186.91	4 <sup>+</sup>
		338.3	57.78	2 <sup>+</sup>
519.20	5 <sup>-</sup>	141.0	378.32	6 <sup>+</sup>
		332.4	186.91	4 <sup>+</sup>
622.6	8 <sup>+</sup>	244.4	378.32	6 <sup>+</sup>
695.58	7 <sup>-</sup>	317.4	378.32	6 <sup>+</sup>
831.80	0 <sup>+</sup>	503.7 2	328.02	1 <sup>-</sup>
		774.1 2	57.78	2 <sup>+</sup>
874.47	2 <sup>+</sup>	478.45 4	396.04	3 <sup>-</sup>
		546.45 2	328.02	1 <sup>-</sup>
		687.8 2	186.91	4 <sup>+</sup>
		816.5 1	57.78	2 <sup>+</sup>

Continued on next page (footnotes at end of table)

$^{226}\text{Ra}(\alpha, 2n\gamma)$  **1998We01,1993Ac02,1986Sc18 (continued)**

$\gamma(^{228}\text{Th})$  (continued)

$E_i(\text{level})$	$J_i^\pi$	$E_\gamma^\dagger$	$I_\gamma^\dagger$	$E_f$	$J_f^\pi$	Mult.	Comments
874.47	2 <sup>+</sup>	874.5 2		0.0	0 <sup>+</sup>		
911.9	10 <sup>+</sup>	289.4		622.6	8 <sup>+</sup>		
920.9	9 <sup>-</sup>	225.1 <sup>±3</sup> 3	24.6 <sup>±15</sup> 15	695.58	7 <sup>-</sup>	[E2]	
		298.3 <sup>±3</sup> 3	100 <sup>±7</sup> 7	622.6	8 <sup>+</sup>	[E1]	
968.44	4 <sup>+</sup>	449.23 3		519.20	5 <sup>-</sup>		
		572.3 1		396.04	3 <sup>-</sup>		
		590.1 3		378.32	6 <sup>+</sup>		
		781.9 2		186.91	4 <sup>+</sup>		
		910.7 1		57.78	2 <sup>+</sup>		
968.983	2 <sup>+</sup>	782.1 1		186.91	4 <sup>+</sup>		
		911.20 2		57.78	2 <sup>+</sup>		
		968.98 2		0.0	0 <sup>+</sup>		
1022.57	3 <sup>+</sup>	835.65 2		186.91	4 <sup>+</sup>		
		964.80 2		57.78	2 <sup>+</sup>		
1091.10	4 <sup>+</sup>	713.1 3		378.32	6 <sup>+</sup>		
		904.19 3		186.91	4 <sup>+</sup>		
		1033.25 9		57.78	2 <sup>+</sup>		
1105.45	6 <sup>+</sup>	409.9 2		695.58	7 <sup>-</sup>		
		586.4 2		519.20	5 <sup>-</sup>		
		918.1 3		186.91	4 <sup>+</sup>		
1174.57	5 <sup>+</sup>	796.2 1	48 10	378.32	6 <sup>+</sup>		
		987.7 1	100 12	186.91	4 <sup>+</sup>		
1189.8	11 <sup>-</sup>	268.9 <sup>±3</sup> 3	67 <sup>±5</sup> 5	920.9	9 <sup>-</sup>	[E2]	
		278.0 <sup>±3</sup> 3	100 <sup>±7</sup> 7	911.9	10 <sup>+</sup>	[E1]	
1239.4	12 <sup>+</sup>	327.5		911.9	10 <sup>+</sup>		
1270.12	6 <sup>+</sup>	891.8 2	100 8	378.32	6 <sup>+</sup>		
		1083.2		186.91	4 <sup>+</sup>		$I_\gamma$ : weak $\gamma$ ray.
1280.5	8 <sup>+</sup>	359.6 2	30 10	920.9	9 <sup>-</sup>		
		585.0 2	100 30	695.58	7 <sup>-</sup>		
		902.3		378.32	6 <sup>+</sup>		$I_\gamma$ : $\gamma$ -ray peak is masked.
1379.6	7 <sup>+</sup>	756.9 3	50 19	622.6	8 <sup>+</sup>		
		1001.3 3	100 13	378.32	6 <sup>+</sup>		
1490.3	10 <sup>+</sup>	300.6 3	33 13	1189.8	11 <sup>-</sup>		
		569.5 2	100 13	920.9	9 <sup>-</sup>		
		867.1 5	14 4	622.6	8 <sup>+</sup>		
1497.2	13 <sup>-</sup>	257.7 <sup>±3</sup> 3	52 <sup>±8</sup> 8	1239.4	12 <sup>+</sup>	[E1]	
		307.3 <sup>±3</sup> 3	100 <sup>±7</sup> 7	1189.8	11 <sup>-</sup>	[E2]	
1497.4	8 <sup>+</sup>	874.7 3	100 15	622.6	8 <sup>+</sup>		
		1119.1		378.32	6 <sup>+</sup>		$I_\gamma$ : weak $\gamma$ .
1599.5	14 <sup>+</sup>	360.1 3		1239.4	12 <sup>+</sup>		
1627.9	9 <sup>+</sup>	715.9 3	38 8	911.9	10 <sup>+</sup>		
		1005.4 3	100 15	622.6	8 <sup>+</sup>		
1733.2	12 <sup>+</sup>	236.0 3	25 8	1497.2	13 <sup>-</sup>		
		543.3 2	100 17	1189.8	11 <sup>-</sup>		
		821.6 4	15 11	911.9	10 <sup>+</sup>		
1762.7	10 <sup>+</sup>	850.8 3	100 50	911.9	10 <sup>+</sup>		
		1140.2		622.6	8 <sup>+</sup>		$I_\gamma$ : weak $\gamma$ ray.
1838.4	15 <sup>-</sup>	341.2 3		1497.2	13 <sup>-</sup>		
1988.1	16 <sup>+</sup>	388.6 3		1599.5	14 <sup>+</sup>		
2209.8	17 <sup>-</sup>	371.4 3		1838.4	15 <sup>-</sup>		
2407.9	18 <sup>+</sup>	419.8 3		1988.1	16 <sup>+</sup>		

Continued on next page (footnotes at end of table)

---

${}^{226}\text{Ra}(\alpha, 2n\gamma)$  [1998We01](#), [1993Ac02](#), [1986Sc18](#) (continued)

$\gamma({}^{228}\text{Th})$  (continued)

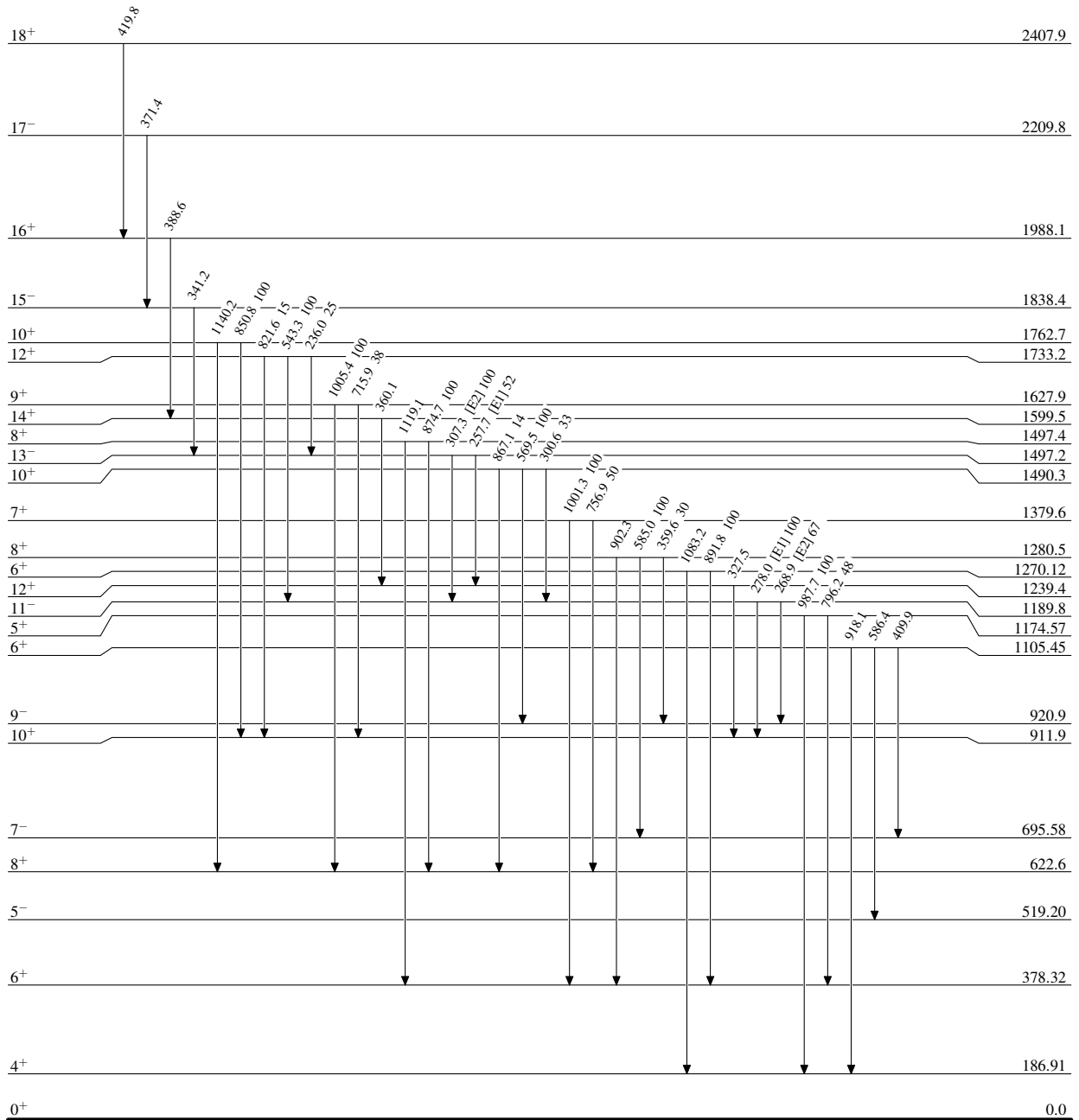
† From [1998We01](#), unless otherwise noted.

‡ From [1993Ac02](#).

${}^{226}\text{Ra}(\alpha,2n\gamma)$  1998We01,1993Ac02,1986Sc18

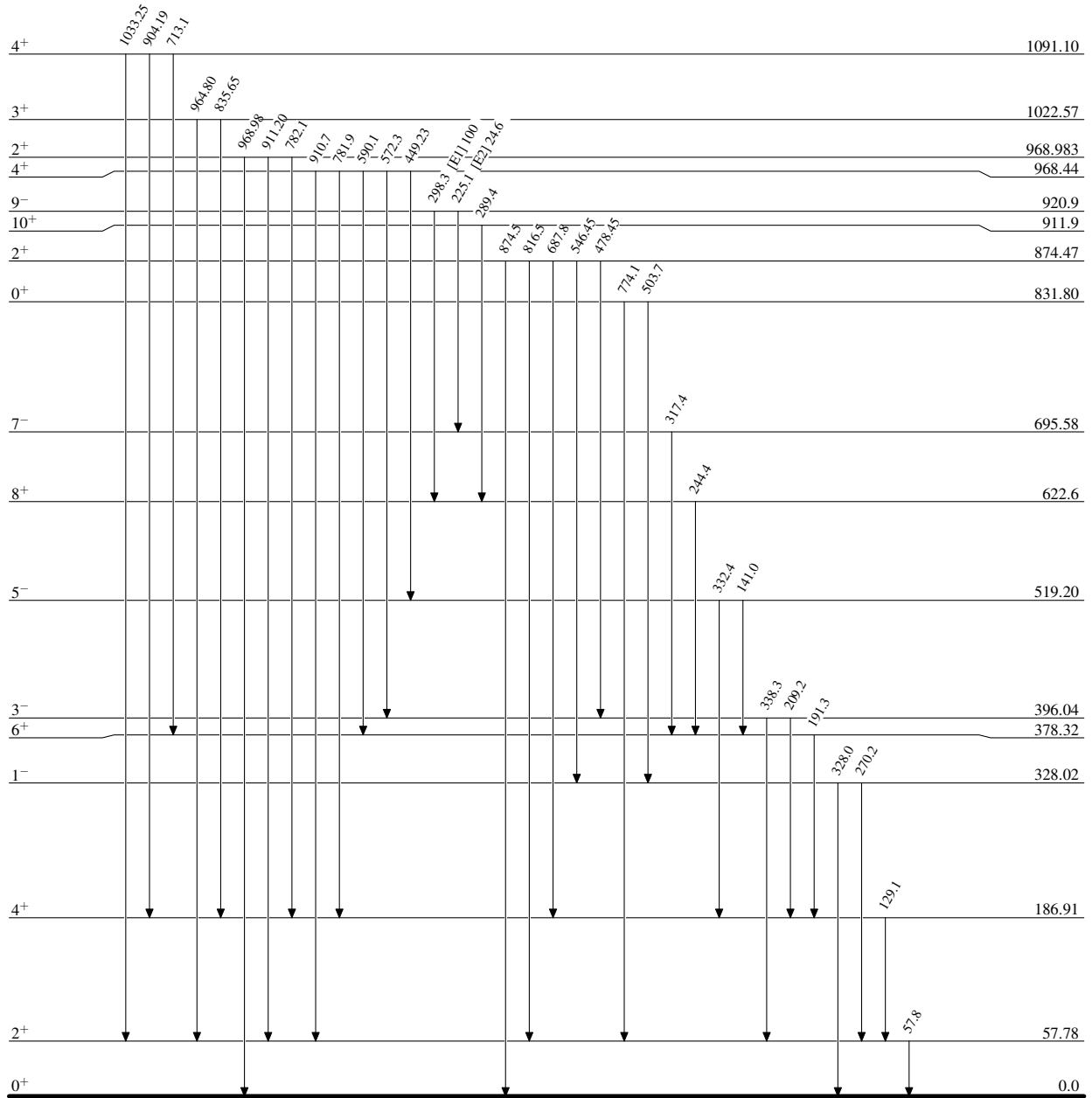
## Level Scheme

Intensities: Relative photon branching from each level

 ${}^{228}_{90}\text{Th}_{138}$

${}^{226}\text{Ra}(\alpha,2n\gamma)$  1998We01,1993Ac02,1986Sc18Level Scheme (continued)

Intensities: Relative photon branching from each level

 ${}^{228}_{90}\text{Th}_{138}$

$^{226}\text{Ra}(\alpha, 2n\gamma)$  1998We01,1993Ac02,1986Sc18